

С 341.2 б

X - 708

23/ VIII - 71

P6 - 5879

2857/2-71

С. Хойнацки, Т. Морек, Л. К. Пекер,
Т. Кэмписты, К. Петрозолин

ИССЛЕДОВАНИЕ
ВОЗБУЖДЕННЫХ УРОВНЕЙ
ЯДЕР $194\text{Р}\gamma$ И $196\text{Р}\gamma$

P6 - 5879

С. Хойнацки, Т. Морек, Л.К. Пекер,
Т. Кэмписты, К. Петрозолин

ИССЛЕДОВАНИЕ
ВОЗБУЖДЕННЫХ УРОВНЕЙ
ЯДЕР $^{194}\text{Р}_{\nu}$ И $^{196}\text{Р}_{\nu}$

Объединенный институт
ядерных исследований
БИБЛИОТЕКА

Хойнацки С., Морек Т., Пекер Л.К., Кэмписты Т.,
Петрозолин К. P6-5879

Исследование возбужденных уровней ядер ^{196}Pb и ^{194}Pb

Уровни четных изотопов свинца исследовались при распаде изотопов висмута, полученных в реакциях $^{181}Ta(^{22}Ne, xn)^{203-x}Bi$ и $^{181}Ta(^{20}Ne, xn)^{201-x}Bi$. В результате проведенных измерений γ -спектров и $\gamma-\gamma$ -совпадений нами предложены схемы уровней ^{196}Pb и ^{194}Pb .

Сообщения Объединенного института ядерных исследований
Дубна, 1971

Chojnacki S., Morek T., Peker L.K., Kempisty T., P6-5879
Petrozolin K.

Investigation of Excited Levels of ^{196}Pb and ^{194}Pb Nuclei

Levels of even-even lead isotopes were investigated at the decay of bismuth isotopes produced in reactions $^{181}Ta(^{22}Ne, xn)^{203-x}Bi$ and $^{181}Ta(^{20}Ne, xn)^{201-x}Bi$. The level schemes of ^{196}Pb and ^{194}Pb were assumed on the basis of the measurements of gamma-spectra and gamma-gamma coincidences.

Communications of the Joint Institute for Nuclear Research.
Dubna, 1971

1. Введение

Исследование уровней "полумагических" ядер позволяет получать сведения о квазичастичных нейтронных или протонных состояниях и тем самым об особенностях остаточного взаимодействия нейронов или протонов в ядрах. К таким ядрам относятся и четные изотопы Pb , поэтому их возбужденные уровни оказались объектом многочисленных экспериментальных и теоретических исследований. К настоящему времени в ядрах свинца с $A \geq 198$ при распаде ядер висмута и в ядерных реакциях помимо уровней с $I = 2+; 4+$ выявляются уровни типа $I = 5-; 7-; 9-$; $^{1/2}$ (табл. 3), которые было принято интерпретировать как двухнейтронные уровни типа $n_1(l_{13/2})n_2(l)$, где $l = p\ 3/2; p\ 1/2; f\ 5/2$, а также ряд других уровней. Однако до сих пор не было никаких сведений об уровнях более легких изотопов ^{196}Pb и ^{194}Pb .

В настоящей работе впервые предприняты поиски уровней ядер, возбуждающихся при $\beta^+-\epsilon$ распаде $^{196},^{194}Bi$. Отметим, что до сих пор эти изотопы Bi были известны только как α -излучатели.

В ряде теоретических работ было предсказано, что в легких изотопах Pb с $A \leq 200$ уровень с $I = 9-$ должен лежать ниже уровня с $I = 7-$ и вследствие этого быть долгоживущим изомерным состоянием. В настоящей работе предприняты поиски таких состояний и показано, что период их полураспада $T_{1/2} < 2$ мин. Это позволяет судить о том, что уровни с $I = 9-$ лежат не ниже, а выше уровня с $I = 7-$.

2 Эксперимент

Нейтронодефицитные изотопы висмута были получены в реакциях $^{181}\text{Ta} (^{22}\text{Ne}, x n) ^{203-x}\text{Bi}$ и $^{181}\text{Ta} (^{20}\text{Ne}, x n) ^{201-x}\text{Bi}$. Мишени (металлические фольги толщиной $\approx 3 \text{ мг/см}^2$) облучались на выведенном пучке тяжелых ионов циклотрона У-300. Были измерены функции возбуждения. Массовое число ядер - продуктов реакции - определялось по изменению выходов γ -переходов с изменением энергии падающих тяжелых ионов, а также по данным о периодах полураспада наблюдаемых γ -линий. При поисках изомеров в изотопах свинца облучались довольно толстые мишени ($\approx 0,1 \text{ мм}$) из вольфрама с естественным изотопным составом. Это обеспечивало получение сразу нескольких изотопов исследуемого элемента. Усложнение γ -спектров в этом случае не мешает обнаружению изомерных состояний, так как γ -переходы между уровнями с $I = 4+; 2+; 0+$, которые должны сопровождать распад этих изомеров, хорошо известны. После облучения источники через 2 мин. переносились к детектору. Измерения γ -спектров проводились на Ge(Li) - детекторе объемом 18 см^3 с разрешением 4,5 кэв. Измерялись также спектры $\gamma-\gamma$ - совпадений. Для этого применялась схема совпадений /6/, в качестве детекторов использовались кристалл Ge(Li) объемом 18 см^3 и кристалл NaJ(Tl) размером $2'' \times 2''$.

3. Результаты измерений

a) ^{196}Bi и ^{194}Bi .

^{196}Bi был получен в реакциях $^{181}\text{Ta} (^{22}\text{Ne}, 7n) ^{196}\text{Bi}$ и $^{181}\text{Ta} (^{20}\text{Ne}, 5n) ^{196}\text{Bi}$ при энергии ионов $^{22}\text{Ne} = 150 \text{ Мэв}$ и $^{20}\text{Ne} = 110 \text{ Мэв}$. Определенный нами период полураспада этого изотопа $T_{1/2} = 4,6 \pm 0,5 \text{ мин}$. Обнаруженные γ -линии в β -распаде ^{196}Bi и их интенсивности приведены в таблице 1. Измерения $\gamma-\gamma$ - совпадений показали, что переходы 372 кэв, 688 кэв и 1048,5 кэв образуют каскад. Учитывая их интенсивности, можно построить фрагмент схемы уровней ^{196}Pb , показанный на рис. 1.

^{194}Bi был получен в реакциях $^{187}Ta(^{22}Ne, 9n) ^{194}Bi$ и $^{187}Ta(^{20}Ne, 7n) ^{194}Bi$ при энергии ионов $^{22}Ne = 175$ Мэв и $^{20}Ne = 145$ Мэв соответственно. Обнаружены четыре γ -перехода (показаны в таблице 2), распадающиеся с $T_{1/2} = 2,0 \pm 0,3$ мин. Найденный нами период полураспада отличается от величины $T_{1/2} = 62$ сек, полученной в работе /5/, в которой изучался α -распад ^{194}Bi . Измерения γ - γ -совпадений показали, что переходы 965 кэв, 575,4 кэв и 280 кэв составляют каскад. Учитывая их интенсивности, можно построить фрагмент схемы уровней ^{194}Pb , приведенный на рис. 1.

б) Поиски изомеров в ядрах $^{200-194}Pb$.

Были предприняты поиски предсказанных в работе /7/ долгоживущих изомерных состояний с $I=8-$. Вследствие большого значения их спина тяжелые ионы – наилучший инструмент для возбуждения таких уровней. Ионами ^{18}O и ^{16}O мы облучали мишень из вольфрама с естественным изотопным составом, что обеспечивало получение нужных изотопов Pb . Факт получения этих изотопов проверялся по известным γ -переходам, сопровождающим β -распад Pb . Через 2 минуты после облучения начинались измерения, так что можно было наблюдать периоды полураспада с $T_{1/2} = 2$ мин + несколько дней. Результаты опытов были отрицательны, ожидаемых долгоживущих изомеров в $^{194-200}Pb$ мы не нашли. В работе /8/ автор заметил в β -распаде ^{200}Bi – переходы с $T_{1/2} = 11$ часов и высказал мнение, что они возникают при распаде изомерного состояния $^{200}Pb I = 8-$. Для проверки этого предположения мы исследовали распад ^{200}Bi , полученного в реакции $e\bar{e} \rightarrow P\bar{P} + ^{11}B$, но изомерный уровень не был обнаружен. После окончания работы нам стало известно о подобных поисках /9/ изомера в ^{200}Pb . Эти результаты хорошо подтверждают наши данные.

4. Обсуждение

Для получения сведений о спинах и четностях найденных нами уровней $^{194,196}Pb$ рассмотрим данные об уровнях более тяжелых изотопов $^{198-200}Pb$, приведенные в таблице 3 и на рисунке 1.

Видно, что энергия рассматриваемых уровней плавно меняется с изменением числа нейтронов в ядре. Эта плавность позволяет экстраполировать кривые в область с $N = 114,112$. На основании такой экстраполяции может быть сделано заключение, что верхний уровень каскада в ^{196}Pb - 2108 кэв вероятнее всего, имеет $I = 7-$, а в ядре ^{194}Pb - 1817 кэв $I = 5-$. Нижние уровни с $I = 4+$ и $I = 5-$ в ^{196}Pb , согласно рис. 1, близки друг другу. Поэтому γ -переход 372 кэв с уровня 2109 кэв $I = 7-$, скорее всего, идет на уровень с $I = 5-$, а не $I = 4+$. В этом случае уровень 1737 кэв имеет $I = 5-$, γ -переход 372 кэв есть переход типа E2, а γ -переход 688 кэв - типа E3.

Так как в каждом из обоих спектров обнаружено только по три интенсивных γ -линии - члены рассмотренных выше каскадов, наиболее интенсивные β -переходы идут на их верхние уровни. Поэтому можно ожидать, что спин ^{194}Bi $I = 5(6)$, а ^{196}Bi $I = 7(8)$. Отрицательный результат поисков долгоживущих изомерных состояний ($I = 9-$) в $^{194-200}Pb$, в свою очередь, свидетельствует о том, что в этих ядрах уровни с $I = 9-$ находятся выше уровня с $I = 7-$ и могут разряжаться на них быстрым E2-переходом. На рисунке 3 представлены данные об уровнях Pb , полученные в результате расчетов /1-3/ в предположении, что это чисто нейтронные уровни. Из рисунка видно, что указанные расчеты в общих чертах передают характер зависимости энергии уровней от числа нейтронов. Наибольшие расхождения наблюдаются для уровня с $I = 5-$. Кроме того, видно, что, согласно расчетам, уровень с $I = 9-$ опускается ниже уровня с $I = 7-$, тогда как на опыте это в $^{200-198}Pb$ не имеет места. Следует заметить, что при теоретическом анализе уровней изотопов свинца с $A < 204$, до сих пор не учитывалась возможность возбуждения протонных уровней из заполненной оболочки $z = 82$, так как считалось, что они должны лежать очень высоко, подобно протонным уровням ^{208}Pb и ^{206}Pb типа $p_1(h\ 9/2)$ $p_2(s\ 1/2)$ с $I = 5-$. Мы хотим обратить внимание на то, что в легких изотопах свинца протонные состояния, по-видимому, играют большую роль в формировании свойств низких уровней.

Чтобы продемонстрировать это, напомним, что нижний протонный уровень ^{206}Pb (рис. 2) 3403 кэв с $I = 5-$ сильнее всех других ($Ig ft = 6,3$) заселяется при β -распаде ^{206}Bi [$I = 6+ p(h_{9/2})$]. Так как однократно запрещенный β -переход на него типа $p(s_{1/2}) + n(p_{3/2})$, в этой области ядер он отличается максимальной вероятностью (и малым значением $Ig ft$).

Соответственно γ -переход типа E1, связывающий этот протонный уровень с $I = 5-$ с нижним уровнем $I = 4+$, после γ -перехода $4+ \rightarrow 2+$ и $2+ \rightarrow 0+$ - самый интенсивный в γ -спектре ^{206}Bi . Нижние уровни с $I = 5-$ в ^{204}Pb , ^{202}Pb и ^{194}Pb обладают такими же особенностями заселения и разрядки (рис. 2,3). Потому уровни с $I = 5-$ в ^{104}Pb , ^{202}Pb , ^{204}Pb , а также аналогичные уровни в $^{196},^{198},^{200}Pb$, по-видимому, содержат значительную примесь протонных состояний типа $p_1(h_{9/2})p_2(s_{1/2})$.

Авторы выражают благодарность академику Г.Н. Флерову за интерес к работе, Р. Броде и А. Гольчевскому - за помощь в измерениях, а также группе эксплуатации циклотрона 1-300, обеспечившей хорошую работу ускорителя.

Литература

1. L.S. Kisslinger, K.A. Sorensen, Mat.Fys.Medd.Dan.Vid.Selsk., 32, No. 9 (1960).
2. R.Arvieu, M.Veneroni, Phys.Lett., 5, 142 (1963).
3. A. Plastino, R.Arvieu, S.A. Moszkowski. Phys.Rev., 145, 837 (1966).
4. A. Hanser Preprint KFK 876 (1968).
5. Н.И. Тарантин, А.П. Кабаченко, А.В. Демьянин. Препринт ОИЯИ, Р15-4706, Дубна (1968).
6. T.Walczak et al.JINR Preprint 13-4025 Dubna (1968).
7. Л.К. Пекер. Изв. АН СССР, т. 34, №4, стр. 879
Л.К. Пекер. Тезисы XX совещания по ядерной спектроскопии и структуре атомного ядра, стр. 165, Л., 1970.

8. J.M. Wyckoff. Phys.Rev., 159, 953 (1967).

9. R.E. Doeblir et al. Phys.Rev., C.V. 2, No 6 (1970).

Рукопись поступила в издательский отдел

21 июня 1971 года.

Таблица I.

γ -переходы в ^{196}Pb .

E кэв	137,6	336,8	372,0	688,0	1048,6
I_{γ}	10 ± 2	16 ± 2	46 ± 5	62 ± 5	100

Таблица 2.

γ -переходы в ^{194}Pb .

E кэв	280,0	575,4	595,3	965,0
I_{γ}	70 ± 5	87 ± 8	23 ± 2	100

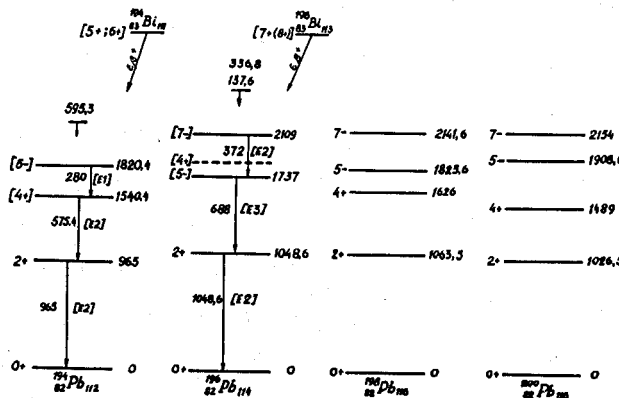


Рис. 1. Схемы уровней легких четных изотопов свинца.

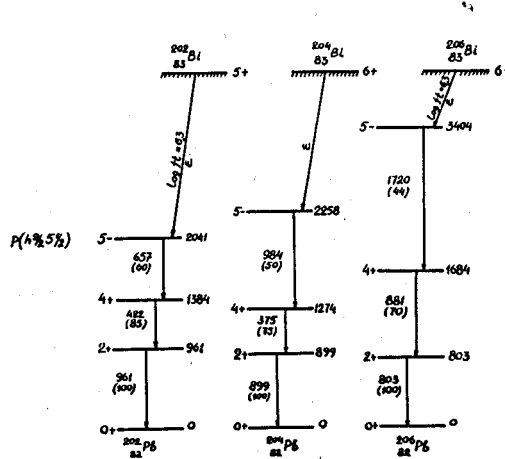


Рис. 2. Часть схемы уровней четных изотопов свинца.

Таблица 3.
Энергии уровней четных изотопов свинца

Ядро	I	2+	4+	5-	7-	9-
^{206}Pb	803,3	—	3404	2200,3	2658,5	
^{204}Pb	899,3	1273,9	2257,7 [>2186]	2185,6		
^{202}Pb	960,7	1382,9	2040,4 [>2170]	2169,7		
^{200}Pb	1026,5	1488,8	1908,6	2153,8 [>2154]		
^{198}Pb	1063,5	1625,9	1823,6	2141,6 [>2142]		
^{196}Pb	1048,6	—	1746	2109 [>2109]		
^{194}Pb	965	1540,4	1820	—	—	

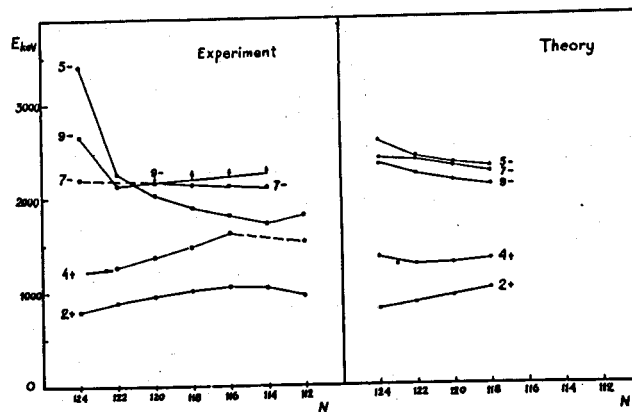


Рис. 3. Сравнение экспериментально наблюдаемых и рассчитанных теоретически [2] уровней четных изотопов свинца.